

## Epigenetické antimonové rudy na magnetitovém ložisku skarnovém ve Vlastějovicích v Posázaví

(z tab., 4 obr. v textu, ruské a anglické résumé)

JAKOMÍR KOUTEK — LUBOR ŽÁK

Předloženo dne 23. prosince 1952

**Výtah:** Na magnetitovém ložisku skarnového typu ve Vlastějovicích byly narazeny severo-jížní žily s antimonovými rудami (berthierit, antimoniit, gudmundit), vedle jiných silniků. Epigenetické rudy prostupují skarnový mylonit, zčasti i pegmatit; jsou mladší než tvorba skarnů. V práci je podána charakteristika jednotlivých nerostů, jejichž krystalační posloupnost, výsledky kvalitativní spektrální analýzy jejich rudních minerálů i magnetovcové rudy skarnové a diskutován jejich původ a vzájemné vztahy. Konstatován silný topominerální vliv skaru na nerostný obsah žil Sb (prinos Fe).

Při pokračující těžbě magnetovce na ložisku skarnového typu u Vlastějovic v Posázaví se narazilo v první polovině minulého roku na osmén a později též devátém patře západní části hlavního dolu na Holém vrchu na složitou slepu, rudní žlu, obsahující antimonové rudy. Navazujíce na předběžnou zprávu uveřejněnou ve Věstníku Ústředního ústavu geologického roč. 1951 (lit. 3) a na monografickou studii L. Záka o nově zde zjištěném minerálu gudmunditu, předloženou do Rozprav Čsl. Akademie věd (lit. 6.), podáváme zde geologicko-mineralogický rozbor tohoto zajímavého nalezu. Práci jsme si rozdělili tak, že geologickou, petrografickou a ložiskovou část zpracoval J. Koutek, autorem mineralogické a mineralografické části je L. Zák.

### Boční hornina žily

Hornina, již žily s antimonovým zrudněním pronikají, je skarn, který odpovídá typům, studovaným na vyšších patrech dolu na Holém vrchu a popsáným v práci J. Koutka o vlastějovickém skaru a jeho rúdach v Rozpravách Čes. Akademie v r. 1950 (4). Je to zejména obecný typ granáticko-pyroxenický, přecházející úbytkem pyroxenu diopsid-hedenbergitové řady do celistvých granátovců (čelba 8. patra), naopak granát může lokálně úplně chyběti, jako v skamu části 8. patra, kde byl konstatován i pyroxenicko-amfibolický skarn zcela bez granátu s hojným accessorickým orthititem a hojnou rúdou, vedle pyroxenicko-granátového skaru, normálního, prakticky bez-

Granáticko-pyroxenický skarn v sousedství žil v tvoří jako hlavní složivo celistvý granát v prostupujícím světle růžovém nebo nahnedlém, někdy nepřevidelně skvrnitý, s tmavšimi i světlejšími partiemi. Další komponentou je monoklinický pyroxen diopsid-hedenbergitové rady, primární epidot, kalcit, křemen, akcesorický apatit a druhotný chlorit zeleno-hnědý až tabákově hnědý v rosetovitých agregátech, tvorící se na útraty granátu. Bylo pozorováno, že granát v těsném sousedství s kalcitem, který vytváří i celé ostrůvky v hornině, je místy anomální, anisotropní, jako by byla pravidlem u Ca granátu.

Celek skaru jeví rozpuškání a stopy pohybů podél celé síťce puklin, jež se zhuštují směrem k žile. Časté jsou rozetové mázdry pyritu na listrových plochách, jež v hojnosti skarn prostupují, tříštice jej na drobné, paralelepipedické kousky.

Místy lze pozorovat také epigenetické minerální žilky prostupující skarn, mocně kolem 1 mm, ale četné, jejichž hlavní výplň je křemen a kalcit a k nimž přistupuje dokonale idiomorfni epidot, pyrit, bledězelený aktinolit v útýlých jehličkovitých krystalcích, zelenavý nebo hnědavý chlorit v červikovitých a kulovité paprscitých agregátech i šupinách.

Porušený skarn, ačkoliv výskyt leží několik desítek metrů pod povrchem, ovšem vysoko nad údolní basi, je místy obhacen hnědem. Ten sleduje s oblibou zvláště rozhraní jednotlivých zrn silikátů a infiltroval do intergranulárních prostorů. Jde o zřejmý produkt oxydačních procesů.

**P y r o x e n i c k o - a m f i b o l i c k ý s k a r n** b o h a t ý m a g n e t i t e m a rubaný zčásti jako ruda na 8 patre má místy zvětšená zrna amfibolu až 1 cm dlouhá, a je zcela bez granátu, s hojným akcesorickým orthitem temně hnědě prosvítajícím a vytvářejícím nápadné pleochroické okruhy v amfibolu. Amfibol prorůstá pojkliticky pyroxen-hedenbergit temně trávově až hnědavě zelené barvy, jenž je zpravidla tmavší, a tedy Fe-bohatší směrem k periferii zrn, se světlejším, železem chudším středem. Hojně je magnetitu, zčásti idioblastického, jenž se slévá až v souvislou masu (dvě třetiny hněty horniny) uzavírající zrnu hedenbergu. Křemen i kalcit v tomto skaru prakticky chybějí.

### Skarnový mylonit

Složená žila s antimonovými rudami vyplňuje mylonitové pásmo ve skaru, které dosahuje spolu s krami nerozdrceného skaru, mylonitem obklopeného, mocnosti od několika málo decimetrů do 1 m.

Mylonit je celistvý, nebřidičnatý a neusměrený, temně zelené pastelové barvy. Po kropení HCl šumí. Je často prošlehan přimočarami, až do zlomků

milimetru sestupujícími světlejšími žilkami, složenými hlavně, jak odhalí mikroskop, z kalcitu a křemene.

Zvláště kolem nich se koncentrují drobné vtroušeniny a krystalky pyritu, vznášejí i berthieritu a jiných epigenetických sulfidických minerálů. Žilky jsou bývale dráhy hydrotermálních roztoků, jež od nich vyzařovaly do pórů mylonitu, pronikajíce do něho, impregnujíce a metasomatizujíce jej. (Tab. I., obr. 1.) Úv mylonitu samém, mimo žilky, najdeme rudní mineraly nepravidelně roztráknutý a vtroušený (stříbrnobílý gudmundit, pyrit, nerály nepravidelně roztráknutý a vtroušený (stříbrnobílý gudmundit, pyrit, nerály nepravidelně roztráknutý a vtroušený (stříbrnobílý gudmundit, pyrit,

rudy Sb).

Ve výbruse rozlišme v mylonitu jednak nehojně útržky původních silikátů skaru, zvláště granátu, vedle všeobecně struované celistvě základní hmoty, jež je v prostupujícím světle šedoželená až nahnedlá. Tvoří ji převážně chlorit — pennin nízkých anomálních barev interferenčních, s nehojným sericitem, kalcitem, méně křemencem a minerály zoisit-epidotové skupiny a opakně rudním práškem. Vzácně se vyskytne rudě prosvitající haematit v šupinkách a leukoxen.

Nedostatek průdurové struktury, obvykle u mylonitů svědčí, že podél dislokacní trhliny, na níž byl skarn rozdroben v mylonit, netrvaly po delší dobu intenzivnější pohyby uskutečnivší se na delší dráze, jež by mylonit usměrnily.

Porfyroblasty granátu v mylonitu, témně výhradně zbytky původních silikátů, jsou často na své periferii proměněny v shluhy špinavě hnědě porofrakce materie zčásti chloritické povahy, zbarvené druhotnými, opticky isotropními produkty rozkladu do hněda.

Dosti intenzivní kataklasu pozorujeme také v sousedním granátovém skaru i mimo mylonitové pásmo. Granát je v něm rozdroben četnými křížovitými puklinami, na nichž dochází k jeho chloritisaci, do puklin vniká kalcit a minerál zoisit-epidotové skupiny, k nimž se druží něco křemene. Pukliny a druhotný křemec vznikají v granátovém skaru ubývá směrem od mylonitového pásmá. Přítomnost novotvořených krystalků epidotu, dosahujících často přes kvapující idiomorfie i karbonatizace mylonitu, stejně jako infiltrace fluorit a sulfidů do něho, svědčí o znacné hydrotermální přeměně skaru rozdrobeného v mylonit. Prosakujícími hydrotermálními byly vyluhovány tež znovu do oběhu, jak se o tom v mineralogické části ještě zmínime.

### Morfologie žil

Hlavní a nejvýznamnější rudní žila, ze tří pozorovaných, má charakter žil složené, vyplňující trhliny v poruchovém pásmu skaru. Její směr je

zhruba S—J (měření kompasem pro magnetičnost prostředí nelze provést). t. j. žila je rovnoběžná s četnými nezrudněnými poruchovými pásmeny a dislokačními rozsedlinami, konstatovanými prakticky na všech patrech dolu. Sklon žily je příkry většinou kolem  $80^{\circ}$  k východu, místy až vertikální. Mocnost zrudněného mylonitového pásma na 8. patře dosahuje 40—60 cm.

Zrudnění vlastní žily má ráz vtroušení, závalků a pásků i velmi plochých, vyklínajících se čoček v křemito-karbonatové žilovině s úlomky skarnových silikátů a chloritem. Poměr a vzájemné stáří jednotlivých rudních minerálů budou diskutovány v mineralografické části práce.

Průměrný vzorek žilné výplně přes 5 cm mocné z pravého boku chodby 8. patra byl analysován v chemické laboratoři Ústředního ústavu geologického Dr. Povondrou s timto výsledkem:

Sb	3,5%
As	0,03
Cu	stopý
Pb	0,00
Zn	9,00%
Fe	.

Další slabé antimonové zrudnění, event. vyklínající a rozmršťující se drobné žilky nahoru uvedeného typu byly zjištěny v závěru 8. patra těsně při západní hranici hlavní magnetcové čočky. Jiná severojížní žilka byla sledována na téžné patře. Šlo o vtroušené rudy antimonové v částečně hydrotermálně alterovaném, rozsedlinou prostoupeném hranicím pegmatitu na 9. patře. Rozmrštená žilka sledovaná slednou chodbou se však záhy vytrala.

Mineralisace antimonovými rудami je mladší než magnetcové ložisko skarnového typu. Antimonové zrudnění nesouvisí přímo geneticky se skarnem. Jedině lze pozorovat topominerální vlivy skaru, projevující se obecněm rudních roztoků Fe, což se projevuje tvorbou berthieritu

jako hlavní antimonové rudy a nikoliv antimonit u.

Geneticky patří rudní žily s antimonovým zrudněním nejpravděpodobněji, jak bylo již zdůrazněno v předběžné zprávě, k rudní aureole masivu dvojslídne žily Melechova jako její apomagmatický člen. Dorněnku podporuje také konstatovaný výskyt fluoritu v žilovině, jenž se vyskytuje v samostatném ložisku do nedávna explotovaném u Koží nedaleko od kontaktu melechovské žily s jejím rulovým pláštěm (lit. 1).

#### MAKROSKOPICKÝ A MIKROSKOPICKÝ POPIS NEROSTŮ ŽIL Sb

Z žilovin byly konstatovány dosud tyto minerály (seřazeno podle frekvence): kalcit, krémenný, fluorit.

- Z rudních minerálů: berthierit, pyrit, antimonit, gedunundit, pyrrhotin, arsenopyrit, chalcopyrit, a to buď přímo v žile, nebo vtroušené do mylonitu v sousedství žily.
1. Žila s Sb rudami na 9. patře hl. dolu, Holý vrch. 1. skarn, 2. skarnový mylonit, Sb = žila s antimonovým zrudněním (černé). Výška profilu 2 m.
2. Obraz žily v pravém boku hl. sledné na 8. patře hl. dolu, Holý vrch. 1. skarn, 2. skarnový mylonit, 3. ruda žila s antimonovými rúdami (černé).

vzácně více, téměř 1 m. Jednotlivé žilky samotné, podstatně zrudněné, dosahují mocnosti několika málo cm. Na 8. patře při nadloži žily (v pravém boku chody) dosahuje antimonové zrudnění v souvislosti 8 cm, při čemž celková mocnost slabé zrudněného mylonitu činí 40—50 cm, a k počev chody se zužuje. Charakter zrudnění nejlépe vysvětlí žilné profily z obou patr 8. i 9. (vzata z boku chody) na připojených obrázcích, jež současně značí dva extrémní případy: rozrůšenou složenou žilu (obr. 1) a pojmenově jednoduchou, méně mocnou normální žilu s koncentrovaným zrudněním (obr. 2).

1. *Křemen*,  $\text{SiO}_2$ .

Méně hojný než kalcit, kusový, mléčně bílý; často idiomorfní, obklopený kalcitem.

**Metalograficky:** Jakožto nejstarší nerost na žilách bývá křemen metasomatičky zatlačován mladšími sulfidy.

2. *Fluorit*,  $\text{CaF}_2$ .

Modrofialový fluorit je velice vzácně vtroušen v křemenu.

**Mikroskopicky:** Fluorit vyplňuje dutiny mezi idiomorfickými krystaly křemene.

3. *Kalcit*,  $\text{CaCO}_3$ .

Kalcit je nejhojnějším nerostenem jaloviny. Je bělavý, místy narůžovělý. Nejčastěji je jemnozrný, hrubozrné partie číreho uhlíctanu jsou méně hojně. Místy je černosedy od mikroskopického vtroušeného vlastkovitého *berthieritu*. (Tab. II., obr. 1.).

Metalografickým rozborem bylo možno stanovit dve generace kalcitu, jak je vyjádřeno na tabulce sukcese.

4. *Arsenopyrit*,  $\text{FeAsS}$ .

Arsenopyrit byl nalezen vzácně jako jemnozrná impregnace spolu s pyritem, podobně jemnozrným, a berthieritem v křemennoo-karbonatické žilovině.

V nábruse konstatováno toto: Arsenopyrit je idiomorfní, čímž se odlišuje na této lokalitě od gudmunditu, který nemá idiomorfně omezen. Mikroskopické rozlišení obou jmenovaných minerálů na základě vlastnosti v odraženém světle je velmi obtížné.

5. *Pyrit*,  $\text{FeS}_2$ .

Pyrit je hojným nerostenem na žilách i v sousedním mylonitizovaném skamu. Na žilách bývá jemnozrný. V sousedství žil, v karbonatisovaném skarnovém mylonitu, tvoří až půlcentimetrové idiomorfní krystaly (obvykle krychle), které doprovázejí často gudmundit.

**Metalograficky:** Pyrit metasomatičky zatlačuje křemen a sám je metasomatován mladšími sulfidy.

6. *Pyrrhotin*,  $\text{FeS}$ .

Pouze na jednom vzorku je přítomen makroskopický pyrrhotin v kalcitu, v blízkosti berthieritu. Tvoří idiomorfní, podle base zploštělé, listovité, až 1 mm velké krystalky.

7. *Berthierit*,  $\text{FeSb}_2\text{S}_4$ .

Berthierit je nejhojnějším sulfidem na žilách. Jeho stěbelnaté, až několikacentimetrové aggregáty jsou makroskopicky obtížně odlišitelné od antimonitu.

**Metalograficky** lze rozlišit berthierit od antimonitu, vedení rozdílu v reflexním pleochroismu a v živosti polarizačních barev, velmi rychle lepičným konc. KOH: antimonit se okamžitě pokrýje oranžově žlutým povlakem, berthierit se stane pouze hnědošedým. Po mírném přelesťemi šatkem je možno oba nerosty dobrě mikroskopicky rozlišovat. Bylo možno pozorovat metasomatické zatlačování křemene, kalcitu, pyritu a pyrrhotinu berthieritem. Berthierit sám je zatlačován a pronikán antimonitem.

8. *Antimonit*,  $\text{Sb}_2\text{S}_3$ .

Antimonit je mnohem méně hojný než berthierit. Na rozdíl od berthieritu je ve Vlastějovicích široce a krátce stěbelnatý.

Metalografickým studiem nebylo možno stanoviti poměr antimonitu ke gudmunditu a chalkopyritu pro nedostatek společného výskytu těchto nerostů. Poměr k berthieritu je vytčen výše.

9. *Gudmundit*,  $\text{FeSbS}$ .

Výskyt gudmunditu ve Vlastějovicích je první v ČSR a je popsán ve zvláštní práci (lit. 6). Gudmundit se vyskytuje neprůš hojně, nejčastěji spolu s idiomorfním pyritem v karbonatisovaném skarnovém mylonitu v sousedství rudní žily. Jeho zrna jsou nepravidelně omezena, až 0,5 cm velká, makroskopický nerozoznatelná od arsenopyritu.

**Metalograficky:** Vlastnosti gudmunditu v odraženém světle jsou podobné vlastnostem arsenopyritu. Nejlepším rozlišovacím znakem je lepší leštěitelnost gudmunditu oproti arsenopyritu. Gudmundit metasomatičky zatlačuje kalcit, pyrit a pyrrhotin.

10. *Chalkopyrit*,  $\text{CuFeS}_2$ .

Chalkopyrit byl nalezen pouze mikroskopicky, nejčastěji spolu se starším berthieritem, na jehož stěbla nasedá.

## R oentgenometrická identifikace nerostů

Práškové diagramy Debyeovou-Scherrerovou metodou byly vyhotoveny ve fyzikální laboratoři Ústředního geologického ústavu ČSR v Praze za použití Cu/Ni záření. Takto byly identifikovány gudmundit, berthierit a antimonit. Z Debyeových diagramů berthieritu a antimonitu bez cejcovací substancie byly získány hodnoty  $d$ , které byly porovnány s hodnotami  $d$ , uvedenými v Harcourtových tabulkách (lit. 2). Shoda byla dobrá. Gudmundit, jehož hodnoty  $d$  nebyly dosud uvedeny v literatuře, byl identifikovan z práškových diagramů s cejcovací substancí, srovnán hodnot  $d$  gudmunditu z Vlastějovic a původní lokality Gu dm und st or p u ve Švédsku (podrobná data s tabulkou hodnot  $d$  a fotografiemi snímků jsou uvedena v samostatné práci (lit. 6.).

### Kvalitativní spektrální analýsy\*)

Bylo použito spektrografového Zeiss Qu 24, spektrálně čistých uhlíkových elektrod, nepřerušovaného obloku, expozice 30 s.

Příprava materiálu pro analýzy provedena takto: Arsenopyrit, jemně zrně srostlý s křemenem, byl rozpráškován v achátové misce a do značné míry zbaven křemene dělením, založeným na rozdílu hustot obou nerostů. v methyleniodidu. Pyrrhotin byl po rozpráškování oddělen od kalcitu magnetickou separaci. Ostatní nerosty byly v malých úlomcích pečlivě prohlédny lupou a rozpráškovány v achátové misce.

Podle počtu a intenzity spektrálních čar bylo možno provést řadové rozdělení prvků do tří skupin:

1. + prvek přítomen v podstatném,
2. — prvek přítomen v podřadném až nepatrném,
3. • prvek přítomen v nepatrném až stopovém množství.

Diskuse homogenity materiálu. U prvků, které jsou přítomny v nerostech v druhé a třetí řadové kategorii (— a •), je možno zručit jejich přítomnost jako isomorfní přiměsi jen v několika málo případech. Jsou to hlavně  $Mg$ ,  $Sr$ ,  $Fe$  a  $Mn$  v kalcitu a  $As$  v pyritu (viz též schema chemismu níže). V ostatních případech může jít o heterogenní příměsi, uravřeniny skarnových silikátů nebo starších nerostů na žilách, mikroskopické průniky mladších nerostů a pod.

\*) Analýsy byly provedeny a vyhodnoceny J. Litomíským ve fyzikální laboratoři Výzkumného ústavu Čs. chemických závodů v Rybitvě u Pardubic.

**Tabulka kvalitativních spektrál. analýs jednotlivých minerálů žilné výplně**

	Ag	Al	As	Au	Ca	Cd	Cu	F	Fe	Mg	Mn	Pb	Sb	Si	Sn	Sr	Ti	Zn
1. Křemen	•	•			•		•	+	•	•		—	+					
2. Fluorit		•				+		•	•	•	—	•						
3. Kalcit	—	+	—					+	•	—	—	—	—					
4. Arsenopyrit	•	—			•		•	+	•	•	—	—	•					
5. Pyrit			•		•		•	+	•	•	•	—	—					
6. Pyrrhotin				•			•	+	•	•	•	—	—					
7. Berthierit					•		•	+	•	•	•	—	—					
8. Antimonit	•	—			•		•	+	•	•	—	+	—	•				
9. Gudmundit																		

Na základě následující tabulky sukcese (obr. 3) a předchozí tabulky kvalitativních spektrografických analýs bylo možno sestavit schéma chemismu rudní žily ve Vlastějovicích.

Vysvětlivky a poznámky k tabulce posloupnosti kryštalisace

a schématu chemismu rudní žily ve Vlastějovicích.

3. Posloupnost kryštalisace na rudní žile.

a) Tabulka je sestavena na základě mikroskopického studia výbrousů a nábrusu.

b) — značí: postavení nerostu v sukceti zajištěné oproti předchozím a následujícím nerostům, pokud tyto nerosty nezasahuji svým ev. možným kryštalisacím intervalem do jeho kryštalisací oblasti.

c) ... značí: oblast, do jejíhož některého místa spadá kryštalisací interval nerostu (nejpravděpodobněji do místa, označeného přetínávanou čarou — —).

4. Schéma chemismu rudní žily.

a) Schéma je sestaveno s použitím výše uvedených tabulek kvalitativních spektrál.

b) Je vztah v úvahu diskuse homogenity spektrálně analysovaného materiálu.

Prvky, jejichž posice v kryštalisacích intervalech jednotlivých nerostů není záručena (heterogenita), jsou označeny tenkou přerušovanou čarou.

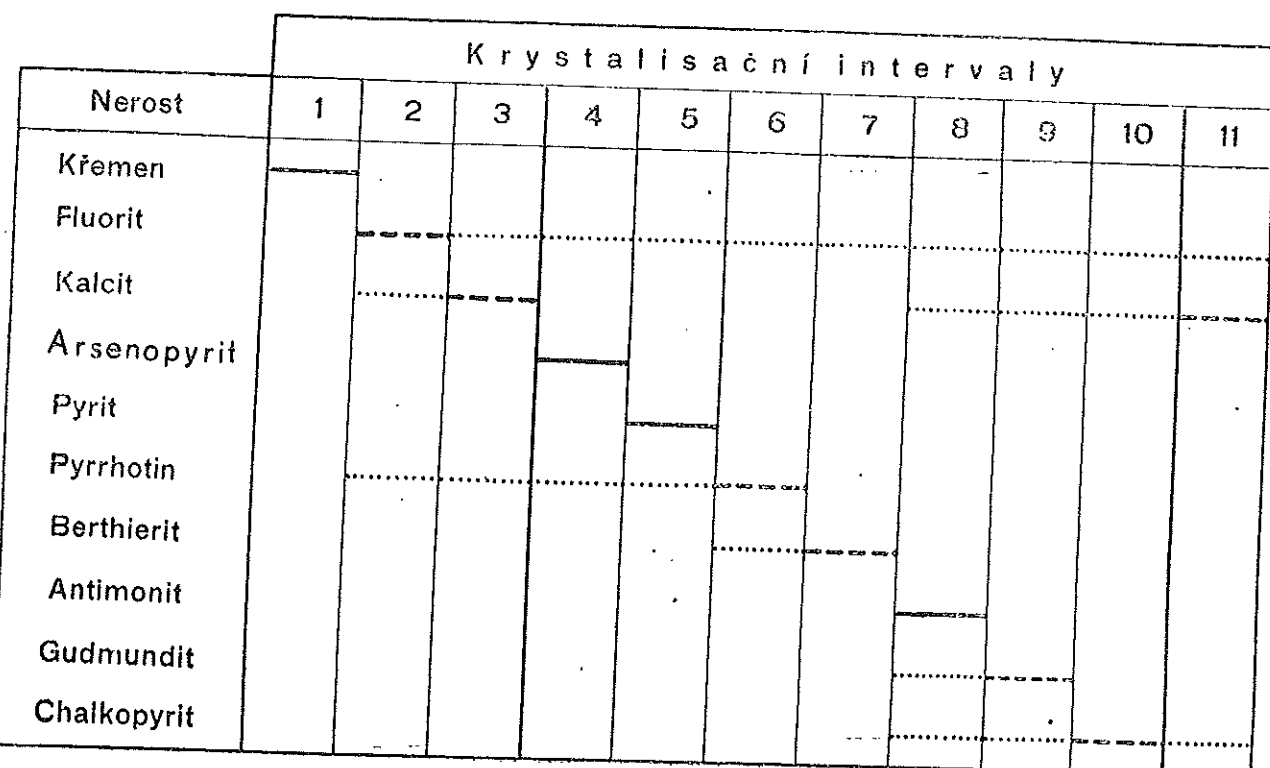
c) Kvantitativní ohlady jednotlivých prvků jsou převzaty, až na  $O$ ,  $C$  a  $S$ , z tabulky kvalitativních spektrálních analýs a jsou znázorněny třemi tloušťkami pruhů.

Při převzetí kvalitativních odhadů množství jednotlivých prvků se přiblíží k relativnímu celkovému množství jednotlivých nerostů. Týká se to fluoritu,  $arsenopyrita$ ,  $pyrrhotitu$ ,  $antimonitu$ ,  $gudmunditu$  a  $chalcopyritu$ , které v do-

savadních vzorech jsou kvantitativně mnohem méně zastoupeny než ostatní nerosty. U těchto nerostů je podstatné množství jednotlivých prvků změněno na podřadné (na pr.  $Cu$  a  $Fe$  v chalcopyritu), nepatrné až stopové a nezaručené množství ponecháno.

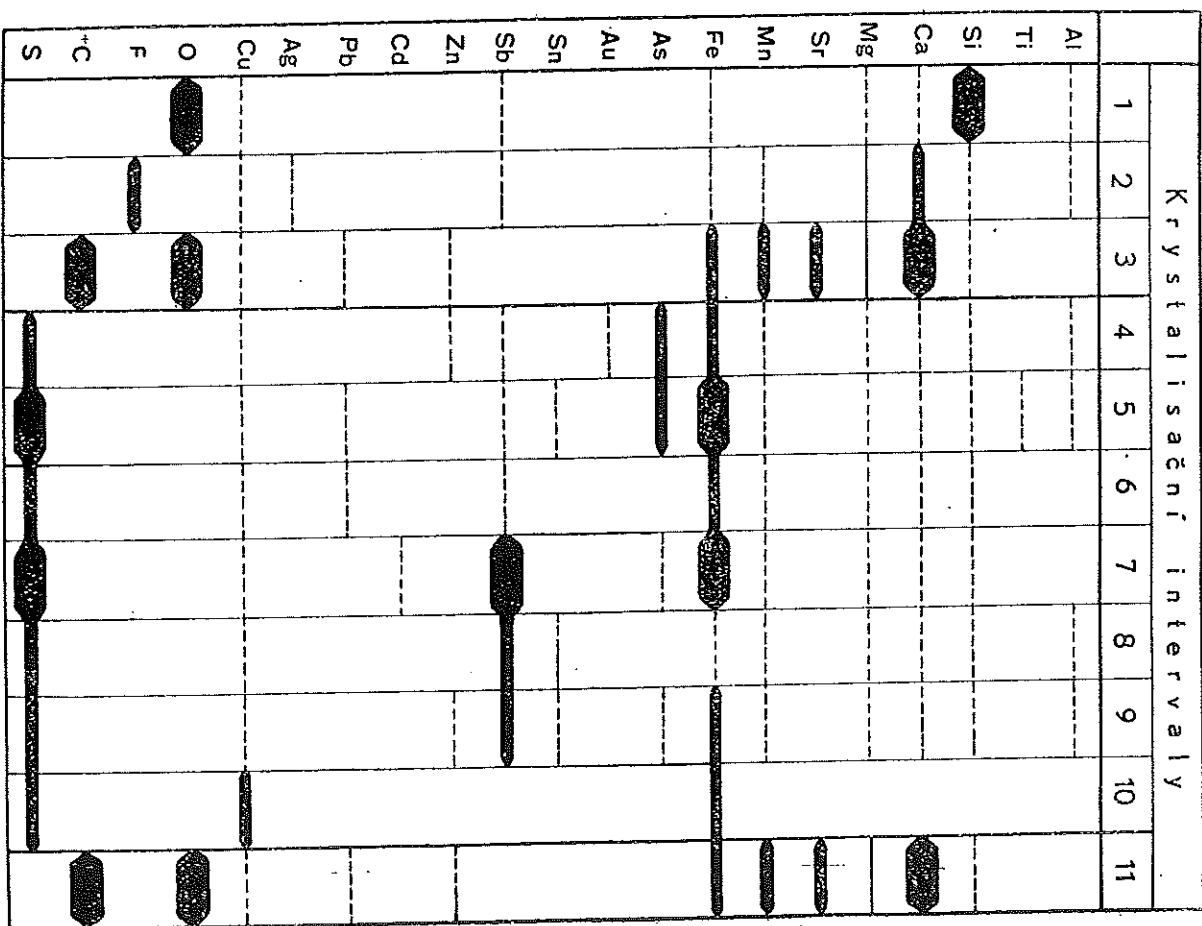
d) Krystalisací intervaly jsou označeny čísly jako v tabulce posloupnosti krystalisace a vertikální pořadí prvků je sestaveno tak, aby co nejvíce odpovídalo pravděpodobné posloupnosti vypadávání prvků z roztoku. Prvky aniontů jsou uvedeny zvláště na konci tabulky.

Posloupnost krystalisace mineralu na Sb- rudni žile ve vlastějovickém skarnu



602

Schema chemismu rudni žily ve vlastějovickém skarnu



603

\*) Schema chemismu na základě kvalitativních spektrálních analýs bylo poprvé uvedeno J. Kutnou (5), který je použil pro rudní žily ze štoly Sv. Antonína Faduánského u Poličan u Kutné Hory.

11

### Genetická pozorování

Hydrotermální epigenetický přenos antimonu do vlastějovického magnetovcového skarnu podmínil neobvyklou nerostnou asociaci. Ráz této asociace je určen vedle antimonu železem. Silné uplatnění želze v chemismu celé paragenese, jak je patrné z výše uvedeného schematu chemismu, lze s největší pravděpodobností přičíst magnetovcovému skarnu. Zelezo a pravděpodobně i některé jiné prvky byly mobilisovány ve skarnu hydrotermálními roztoky, přinášejícími z hloubky z rudních prvků hlavně antimon, případně také menší množství jiných kovů.

Do chemismu magnetovcové rudy nám dovoluje nahlédnout několik zde uvedených kvalitativních spektrálních analýs. První dvě z nich (1. a 2.) se týkají magnetovců, vzdálených od pegmatitů a hydrotermálních žil, další dvě (3. a 4.) jsou ze sousedství pegmatitu a poslední (5) ze sousedství hydrotermální žily s antimonovými rudami. Magnetovec nebyl oddělován od skarnových silikátů a ostatních heterogenních nerostů, aby bylo možno záhytiti co možno úplný chemismus rudiny, vytvořené při vzniku magnetovcového skaru, a sledovat ev. přenos některých prvků, event. nerostů, v souvislosti s pegmatity a rudní žilou. Výsledky analýs poskytují dobrý obraz chemismu rudiny, ale pokud jed o epigenetický přenos prvků do skaru, je nutno vzhlédnout k malému počtu analysovaných vzorků postupovat opatrně.

Výsledky kvalitativní spektrální analýsy magnetovců z Vlastějovic byly tyto:\*)

Magne-	Ag	Al	As	Be	Bi	Ca	Cr	Cu	Fe	Ga	Ge	Mg	Mn	Na	Ni	Sb	Si	Sn	Ti	V	Zn
1.	-	+	•			+	?	+								-					
2.	-	+	•	•	•	+	+	•	+			-	-	-	-	+	•	•	•	•	•
3.	+	•	•	•	•	+	?	•	+	?	?	2	-	-	+	-	•	•	•	?	•
4.	-	•	•	•	•	-	•	•	+	?	•	•	•	•	•	-	•	•	•	•	•
5.	?	•	?	?	?	-	?	+	•	•	•	•	•	•	•	-	•	•	•	•	-

Výsvetlivky: + prvek přítomen v podstatném množství

— prvek přítomen v podřadném až nepatrném množství

• prvek přítomen v nepatrném až stopovém množství

? přítomnost prvku nejistá

1. Magnetovcový skar s granátem a pyroxenem, magnetovec převládá.

Ložisko magdalenské na Fiolníku, hloubení pod úrovní štoly Magdaleny (v Šířím okolí jen nepatrně a malých pegmatitových žil).

2. Pyroxen-magnetitový skar s idioblasty magnetovce. Stola Magdalena, vých. část, 32 m vých. od křízovatky se slednou chodbicí.

(Daleko od pegmatitových žil, jež se v sousedství nikde nevyskytuje.)

3. Magnetovec zrnitý, 5 cm od kontaktu s pegmatitovou žilou. Hlavní ložisko na Holém vrchu, dobývky pod t. zv. Vodním patrem.

4. Magnetovec s imbibičními živci z přímého styku s pegmatitem. (týž vzorek jako 3).

5. Jemnozrnny magnetovec západně, asi 50 cm od žily Sb—před sev. překápkem, vedeným napříč ložiskem, 8. patro, hlavní ložisko na Holém vrchu. V sousedství se níkde nevyskytuje pegmatit.

Je možno učiniti několik pravděpodobných závěrů. Srovnání chemismu magnetovcové rudy a nerostů na rudní žile: Sb, Au, Ag a Pb nebyly nalezeny v magnetovcové rудě. Jejich přenos je u antimonu nesporně a u ostatních s největší pravděpodobnosti hydrotermální. Tomu nasvědčuje i přítomnost Sb ve stopách a nezaručeného Ag v magnetovci ze sousedství rudní žily Cd a Sr jsou také neprítomny v magnetovcové ruditě. U Cd je hydrotermální přenos méně pravděpodobný než u Au, Ag a Pb, zvláště vzhledem k stopové přítomnosti Zn v magnetovcích, vzdálených od zrudnění. U Sr je hydrotermální přenos nepravděpodobný, již vzhledem k jeho příslušenství k ostatním kovům alkaliických zemin, které jsou zřejmě geneticky spjaty se staršími nerosty skaru.

Prvky Fe, Mn, As, Sn, Zn, Cu, Ca, Mg, Si, Ti a Al byly nalezeny spektrální analýsou jak v magnetovcovém skaru, tak i v nerostezech na rudní žile. Fe, Mn, Ca, Mg, Si, Ti a Al jsou prvky, charakterisující magnetovcový skar. V nerostezech na rudní žile jsou bud' hlavní složkou, isomorfni nebo heterogenní příměsi.

Z prvků, které byly nalezeny pouze v magnetovcovém skaru, pomíne-li prvky zjištěné pouze stopově a ojediněle, příp. nezaručené, je nejjednodušší Ge, které je pravděpodobně vázano v silikátech.

Ke konci schematu chemismu jsou uvedeny prvky aniontů — O, F, C a S. Silnější světlé čáry oddělují fáze oxydické od fáze sulfidické. Provedeme-li srovnání výskytu técto prvků v magnetovcovém skaru a na rudní žile, zjistíme, že síra, kyslík a uhlík byly ve skaru obsaženy již před vznikem rudní žily, zatím co fluor je dosud hojný v pegmatitovém fluoritu.

\*

Za chemickou analýsu žilné výplně děkujeme Dr. Povonkovi z ÚUG.

Dr Ing. J. WANKOVÍ, vedoucímu Výzkumného ústavu Čs. chemických závodů v Rybitvě u Pardubic, děkujeme za laskavé umožnění spektrálních analýs

a kol. J. Litomiskému za vyhotovení a výhodnocení spektrálních analýs ve fyzikální laboratoři výzkumného ústavu. Nás dík rovněž patří kol. R. Rotterovi za usnadnění práce při vyhotovování roentgenových snímků ve fyzikální laboratoři Ústředního geologického ústavu ČSR v Praze.

*Katedra nerostných surovin a katedra mineralogie*

*geologicko-geografické fakulty*

*Karlov University v Praze*

Я. Коутек и Л. Жак  
(Резюме чешского текста)

Предложено 23 декабря 1952 г.

1. CENÁK K.: Příspěvek k geologii výskytu kazivce u Koží na Ledečsku. *Věstník St. geol. úst.* XXII, 1947, pp. 340—352.
2. HARCOMBE G. A.: Tables for identification of ore minerals by X-ray powder patterns. *The American Mineralogist*, Vol. 27, 1942, pp. 63—113.
3. KOUTEK J., ZÁK L.: Předběžná zpráva o rudní žilě v magnetitovém skarnu ve Vlastějovicích v Posázaví. *Věstník Št. Geol. úst.*, roč. XXVI, pp. 258—260.
4. KOUTEK J.: Ložisko magnetitové skarnového typu u Vlastějovic v Posázaví. *Rozpravy II. tř. České Akademie LX*, čís. 27, 1950, str. 1—30.
5. KUTINA J.: Chemismus rudních žil ze štoly Sv. Antonína Paduánského od Poličan u Kutné Hory na základě spektrálních analýs. *Rozpravy II. tř. České Akademie*, roč. LXIX, č. 24, Praha 1949.
6. ZÁK L.: Gudmundit z Vlastějovic nad Sázavou. *Rozpravy II. třdy České akademie*, rok 1952, v tisku.

**VÝSVĚTLIVKY K TABULKAM**

Tabulka I.

1. Skarnový mylonit fragmentovaný a proniklý žilkami vápence a křemene s vitrínou rudo (hlavně pyritem = oříšek zrna).

Zvětšení cca 15X

2. Rudní žila s výplní kalcitu, něco pyritem a její kontakt s celistvým skarnovým mylonitem (horní polovina vzorku).

Nepatrně změněno.

Tabulka II.

1. Vlăškovitý berthierit a shluk pyritových krystálů ve vápencové žilovině. Zvětšeno cca 30X
2. Výbrus žilné vyplně. Calcit (dvojčatné lamely) idiomorfní křemen, berthierit opakní). Silně zvětšeno

Foto V. Šilhanová a J. Neruda.

**Эпигенетические сурьмяные руды магнетитового месторождения в скарнах у общ. Властейовице в поречье Сазавы**

(Резюме чешского текста)

Я. Коутек и Л. Жак

В магнетитовом месторождении скарнового типа у Властейовице в долине р. Сазава (вост. Чехия), залегающим в сильно метаморфизованных гнейсах, при разработкеруды были обнаружены эпигенетические рудные жилы меридионального простирания, проходящие параллельно с дислокациями, нарушающими это месторождение. Эти жилы проникают глазным образом в гранат-приоксеноный скарн и в собственно магнетитовую руду, в исключительных случаях и в пегматит. Простые или более сложные жилы появляются в особенности в миллиметрованном скарне. Рудные растворы проникли здесь в милонит, гидротермально изменили его и импрегнируя рудой. Детали морфологии жил изображены на фиг. 1 и 2 в чешском тексте.

Гидротермальный эпигенетический привнос сурьмы в милонит-скарн имел следствием образование совершенно исключительной ассоциации изучаемой рудной жилы.

Микро- и макроскопически здесь были в общем констатированы следующие рудные и жильные минералы: кварц, флюорит, кальцит, арсенопирит, пирит, пиротин, бертизит, антимонит, гудмундит ( $FeSSbS$ ) и халькопирит. Гудмундит был описан нами в особой статье (I. c.).

Весь этот материал был подвержен качественному спектральному анализу (И. Литомиский) за исключением халькопирита, который был обнаружен только под микросkopem. На основании металлографического и микроскопического исследований в дальнейшем дискутируется вопрос состава материала и предлагается таблица последовательности кристаллизации (фиг. 3 в чешском тексте). С помощью этой таблицы и качественных спектральных анализов была составлена «Схема химизма рудной жилы», приводимая в чешском тексте на фиг. 4.

Химизм магнетитовой руды, совместно со скарновыми, а иногда и пегматитовыми силикатами и др. минералами, иллюстрируется спектральными анализами, приводимыми в чешском тексте на стр. 604. Проанализированы были следующие породы:

1. Магнетитовый скарн с гранатом и пироксеном. Магнетит преобладает. Магдаленское месторождение на горе Фиольник, под уровнем

J. Koutecký a L. Zák: Epigenetické antimonové rudy  
na magnetitovém ložisku skamnovém ve Vlastějovicích

Tab. I. (30)

#### EXPLANATION OF THE FIGURES

1. Sb-veins with antimony mineralisation (ore = black), 9th level of the main adit, southern wall. Deposit "Holy Vrch". 1 = skarn, 2 = skarn mylonite.
2. Simple part of a Sb-vein, 8th level of the main adit, northern wall. Deposit "Holy Vrch". 1 = skarn, 2 = skarn mylonite, 3 = ore vein with antimony ores (black).

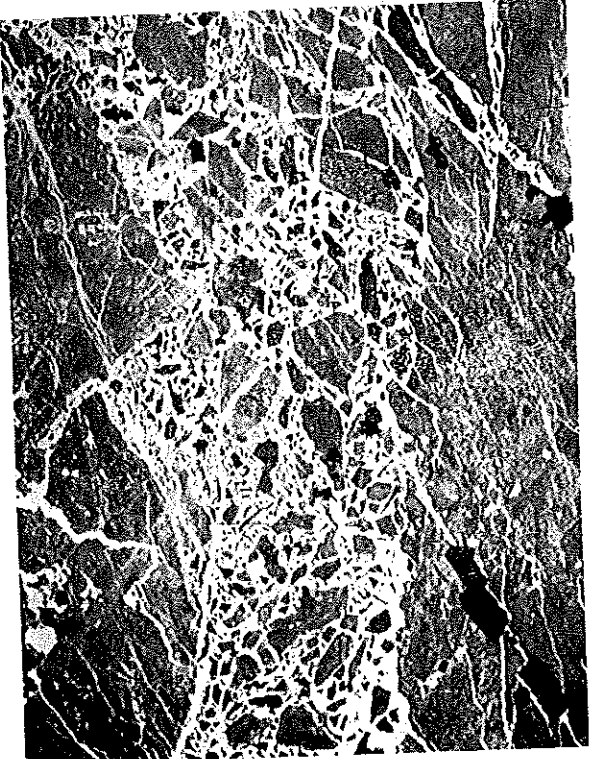
#### EXPLANATION OF THE PLATES

##### Plate I

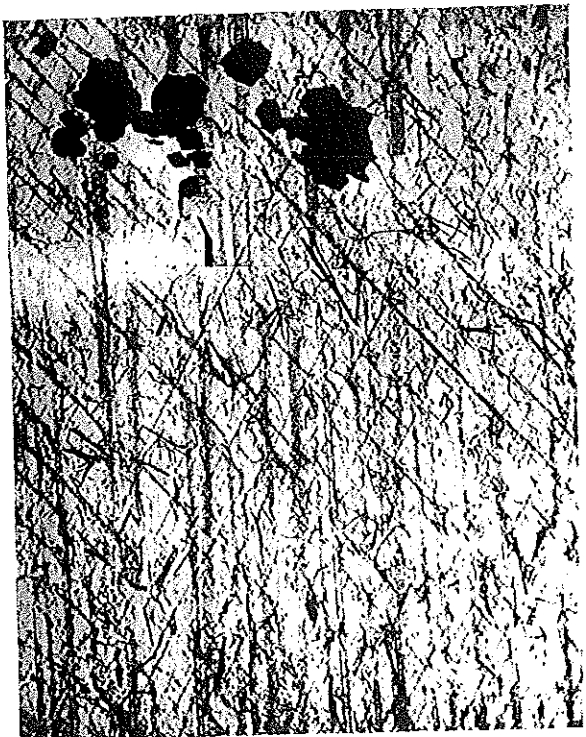
1. Skarn mylonite fragmented and penetrated by veins of calcite and quartz with interspersed ore (mainly pyrite = opaque matter). About 15X nat. size.
2. Ore vein with gangue filling of calcite, some pyrite, and its contact with the massive skarn mylonite (upper half of the sample). Slightly reduced scale.

##### Plate II

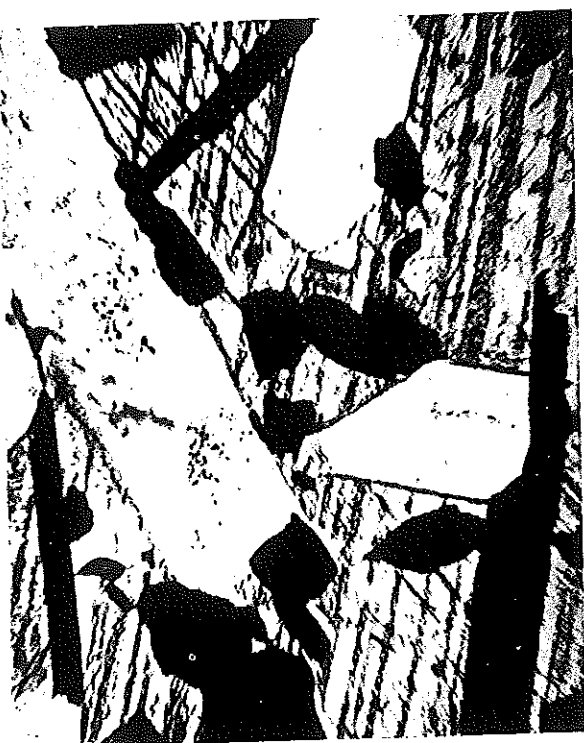
1. Berthierite and agglomerate of pyrite crystals in the calcitic gangue filling. About 80X nat. size.
2. Thin section of the gangue filling: calcite (twinning lamellae), euhedral quartz, berthierite — black. Strongly enlarged.



1



1



2